

## ЗАВИСИМОСТЬ КРИТИЧЕСКОГО ДИАМЕТРА ЖИДКИХ ВЗРЫВЧАТЫХ ВЕЩЕСТВ ОТ СОДЕРЖАНИЯ ПОРОШКОВ

*Р. Х. Курбангалина*

*(Москва)*

Приводятся результаты экспериментального исследования зависимости величины критического диаметра ( $d_*$ ) нитрометана (НМ) от содержания порошков алюминия, окиси алюминия, вольфрама, сажи, талька и диаметра ( $d_*$ ) тетранитрометана (ТНМ) от содержания алюминия и окиси алюминия. Выявилось в широком диапазоне содержание порошков (от 0 до 75% по весу) и дисперсность их. Установлено, что характер изменения величины  $d_*$  для смесей нитрометана резко отличается от характера изменения  $d_*$  смесей тетранитрометана. Когда размер частиц порошка находится в пределах 1—50  $\mu\text{m}$ , величина  $d_*$  смесей НМ уменьшается по мере увеличения концентрации порошка. Минимальное значение  $d_*$  в десять раз меньше величины  $d_*$  чистого НМ. В смесях ТНМ  $d_*$  монотонно возрастает при увеличении количества порошка.

Предполагается, что такое поведение смесей НМ связано с неоднородностью структуры фронта детонационной волны в НМ, которая обусловлена особенностью кинетики химического превращения нитрометана.

*Таблица 1*

Взрывчатая жидкость	$\rho$ , $\text{г}/\text{см}^3$	$Q_v$ , $\text{ккал}/\text{кг}$	$d_*$ , $\text{мм}$
Нитрометан	1.139	1060—1472	12.5
НМ + коллоксилин 97/3	1.14		12
Тетранитрометан	1.638	542	10.8—11
ТНМ + плексиглас 99.5/0.5	1.63	574	9.6

Величины критических диаметров определялись обычным способом в длинных стеклянных трубках с толщиной стенок 0.6—1.3  $\text{мм}$ . Температура помещений, в которых производились подготовка и испытание зарядов, была одинаковой (+20° С) с отклонениями не более +2 и —1°. Процесс распространения детонации регистрировался на пленку с помощью скоростного фоторегистра, а также по деформации металлической пластиинки, подложенной под заряд. Для предотвращения оседания частиц порошка предварительно готовились загущенные растворы ТНМ и НМ.

*Таблица 2*

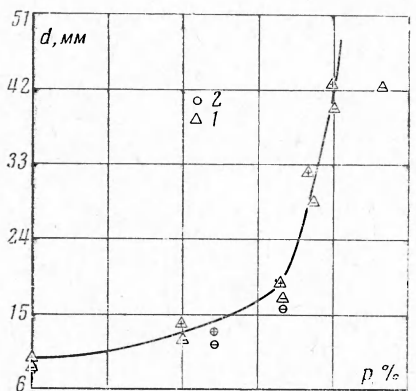
Порошок	$\rho$ , $\text{г}/\text{см}^3$	Характеристика
Al	2.7	Размеры частиц <0.2 $\mu\text{m}$
Al	2.7	АСД-4; полидисперсность; в основном 5—10 $\mu\text{m}$
W	19.3	В основном 1 $\mu\text{m}$
$\text{Al}_2\text{O}_3$	3.9—4.1	Корунд МП-7; 7 $\mu\text{m}$
$\text{Al}_2\text{O}_3$	3.9—4.1	Корунд МП-4; 1 $\mu\text{m}$
$\text{Al}_2\text{O}_3$	∞3	«чда» ТУМХТ2063—49; >50 $\mu\text{m}$
$\text{Al}_2\text{O}_3$	2.7	Для хроматографии; >50 $\mu\text{m}$
Сажа	1.8—2.1	Тонкая
Тальк	2.7—2.8	1—100 $\mu\text{m}$

Некоторые данные о свойствах ТНМ, НМ, исходных растворов их с загустителями и примененных в работе порошков приводятся в табл. 1 и 2, где удельный вес, теплота взрыва при постоянном объеме, величины критического диаметра обозначены буквами  $\rho$ ,  $Q_v$ ,  $d_*$  соответственно.

Экспериментальные результаты по определению  $d_*$  смесей нанесены на фиг. 1—3, где по оси абсцисс отложено содержание порошка в процентах по весу ( $P$ ), а по оси ординат — диаметр заряда ( $d$ ) в  $\text{мм}$ . Всюду знаки плюс обозначают прохождение детонации, а знаки минус — отсутствие или затухание детонации. Величина  $d_*$  для смеси данного состава находится между ближайшими минусом и плюсом, заключенными в одинаковые значки.

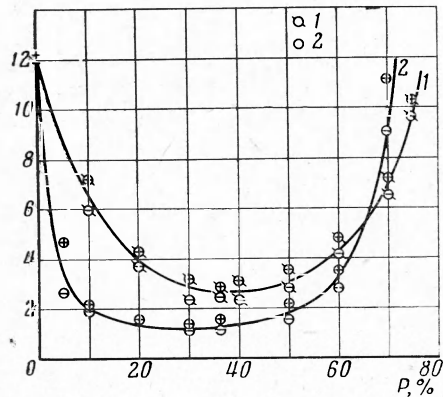
На фиг. 1 приведены данные для смеси ТНМ + Al АСД-1 (кривая со значками 1). Из рассмотрения хода кривой следует, что критический диаметр ТНМ только растет по мере увеличения содержания алюминия в смеси. Этот результат несколько неожиданный: в случае сгорания алюминия в зоне детонационной волны ТНМ можно было ожидать экстремум в величине  $d_*$ , когда тепловыделение смеси ТНМ + Al (стехиометрический состав) максимально; на кривой нет экстремумов. Это говорит скорее о том, что алюминий в ТНМ ведет себя в отношении  $d_*$  как инертный порошок. Для проверки было проведено несколько опытов со смесью ТНМ +  $\text{Al}_2\text{O}_3$  7 мк, которые отмечены на фиг. 1 значками 2. Значения  $d_*$  для смеси ТНМ +  $\text{Al}_2\text{O}_3$  7 мк располагаются вдоль кривой (чуть ниже ее)  $d_*$  смеси ТНМ + Al АСД-1, тем самым подтверждают, что в смеси с ТНМ алюминий ведет себя в отношении  $d_*$  как инертный порошок.

На фиг. 2 имеются две кривые. Кривая 1 изображает ход изменения критического диаметра НМ от содержания алюминия АСД-1, кривая 2 — для смеси НМ +  $\text{Al}_2\text{O}_3$  7 мк. Легко заметить, что вид кривых 1 и 2 для обеих смесей катастрофически уменьшается по мере увеличения содержания порошка; кривые 1 и 2 имеют чашеобразную форму и, следовательно, минимум, где величина  $d_*$  смесей в 5—10 раз меньше величины  $d_*$  для чистого НМ. Такое поведение НМ в смесях с порошками в отношении  $d_*$  можно назвать аномальным. Интересно так же то, что величина  $d_*$  смеси НМ + порошок 25/75 все еще остается меньше величины  $d_*$  чистого НМ.

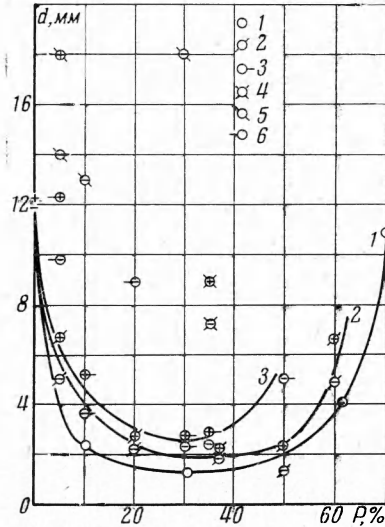


Фиг. 1

На фиг. 2 имеются две кривые. Кривая 1 изображает ход изменения критического диаметра НМ от содержания алюминия АСД-1, кривая 2 — для смеси НМ +  $\text{Al}_2\text{O}_3$  7 мк. Легко заметить, что вид кривых 1 и 2 для обеих смесей катастрофически уменьшается по мере увеличения содержания порошка; кривые 1 и 2 имеют чашеобразную форму и, следовательно, минимум, где величина  $d_*$  смесей в 5—10 раз меньше величины  $d_*$  для чистого НМ. Такое поведение НМ в смесях с порошками в отношении  $d_*$  можно назвать аномальным. Интересно так же то, что величина  $d_*$  смеси НМ + порошок 25/75 все еще остается меньше величины  $d_*$  чистого НМ.



Фиг. 2



Фиг. 3

На фиг. 3 нанесены результаты опытов, поставленных с целью выяснения влияния, главным образом, дисперсности и удельного веса порошков на величину  $d_*$  смесей НМ + порошок; кривая 1 (значки 1) — НМ +  $\text{Al}_2\text{O}_3$  7 мк, кривая 3 (значки 3) — НМ +  $\text{Al}_2\text{O}_3$  1 мк, кривая 2 (значки 2) — НМ + W 1 мк, значки 4 — НМ +  $\text{Al}_2\text{O}_3 > 50$  мк, значки 6 — НМ + Al  $< 0.2$  мк, значки 5 — НМ + сажа.

Из данных фиг. 3 самым интересным фактом следует считать зависимость критического диаметра смеси НМ + порошок от размера частиц, которая четко выраживается на примере смесей НМ +  $\text{Al}_2\text{O}_3$  и НМ + Al; на фиг. 3 ниже всех располагается кривая 1 для НМ +  $\text{Al}_2\text{O}_3$  7 мк: данные как для НМ +  $\text{Al}_2\text{O}_3$  1 мк (кривая 3), так и для НМ +  $\text{Al}_2\text{O}_3 > 50$  мк (значки 4) располагаются значительно выше данных для НМ +  $\text{Al}_2\text{O}_3$  7 мк. Величина  $d_*$  смеси с очень мелким алюминием (значки 6 фиг. 3) тоже значительно выше величины  $d_*$  смеси НМ + Al АСД-1 (фиг. 2, кривая 1). Таким образом, наименьшие величины  $d_*$  показывают смеси НМ с порошком  $\text{Al}_2\text{O}_3$ , размер

частиц которого равен  $7 \text{ мк}$ . Будет ли именно этот размер частиц критическим, обеспечивающим наименьшие значения  $d_*$ , утверждать нельзя, пока не будут проведены опыты с порошками  $\text{Al}_2\text{O}_3$ , размер частиц которых несколько отличается от  $7 \text{ мк}$  в ту и в другую сторону. Но из всех испытанных пока порошков  $\text{Al}_2\text{O}_3$  (размер частиц  $1, 7$  и  $> 50 \text{ мк}$ ) семимикронная окись алюминия интенсивнее всех остальных снижает величину  $d_*$ .

Высокие значения  $d_*$  (значки 5 на фиг. 3) и повышение величины  $d_*$  по мере увеличения содержания сажи намечаются для смеси НМ + сажа. Основными причинами, обусловливающими такое поведение смеси НМ + сажа в отношении  $d_*$ , являются, по-видимому, слишком высокая дисперсность ( $< 0.1 \text{ мк}$ ) частиц сажи и сравнительно низкий удельный вес ее.

Следует здесь сказать несколько слов о роли твердости порошков. Для выяснения влияния твердости порошка на  $d_*$  НМ были поставлены специально опыты с тальком: они показали, что при прочих равных условиях  $d_*$  для смеси НМ + тальк и НМ +  $\text{Al}_2\text{O}_3$  совпадают, т. е. твердость порошка не имеет существенного значения для исследуемого явления.

Эта работа была проделана для определения величин  $d_*$  ТНМ и НМ в смесях с различными порошками, так как точная оценка их расчетом все еще невозможна. По представлениям, развитым в работе [1], величина  $d_*$ , время химического превращения  $\tau$  взрывчатого вещества (ВВ) в зоне детонационной волны и температура  $T$  в сжатом ударным фронтом слое жидкого ВВ связаны между собой;  $d_* \sim \tau \sim \exp A / RT$ . Температура  $T$  при однократном сжатии жидкости фронтом детонационной волны определяется скоростью  $D$  детонационной волны:  $T \sim D^2$ . При добавке к ВВ инертных веществ скорость детонации ВВ всегда уменьшается, следовательно, уменьшается и  $T$ . Уменьшение  $T$  должно привести к повышению  $d_*$ . Примерно так обстоит дело со смесями жидкое ВВ + инертная жидкость. Как показывают эти эксперименты, поведение в отношении  $d_*$  смесей жидкое ВВ + порошок бывает и аномальным. Система жидкое ВВ + порошок является гетерогенной средой, законы распространения ударных и детонационных волн в ней более сложны, чем в гомогенной по агрегатному состоянию системе жидкое ВВ + инертная жидкость. В системе жидкое ВВ + порошок схема распространения ударных и детонационных волн сложна как из-за различной сжимаемости и скорости звука компонентов, так и из-за возможности всякого рода взаимодействий частиц порошка с ударным фронтом. При распространении ударных, детонационных волн в смеси жидкое ВВ + порошок поле температур и давлений (когда частицы порошка не очень малы) неоднородно, имеются участки с повышенными температурами и давлениями. При определенном размере участка с повышенной температурой  $T_1$  ВВ, заключенное в этом участке, воспламенится раньше и станет, таким образом, очагом реакции. Теперь определяющей температурой начало реакции сжатого ВВ будет не  $T$ , а  $T_1 > T$ . Оценка  $T_1$  более сложна. Эффективность очагов связана, конечно, с размером и количеством их. В работе [2] в связи с изучением механизма детонационного превращения некоторых сплошных порохов было исследовано влияние на  $d_*$  порохов добавок (до 5% по весу) тяжелых неорганических мелкоизмельченных порошков и установлено, что  $d_*$  пороха уменьшается по мере повышения содержания порошка. В результате анализа своих экспериментальных данных авторы работы [2] пришли к выводу, что очаги с повышенными температурами и давлениями, возникающие при распространении детонационной волны в системе сплошное ВВ + порошок эффективны, если детонационное превращение исходного чистого ВВ происходит по гетерогенному (очаговому) механизму, т. е. когда фронт детонационной волны исходного ВВ неоднороден. Авторы работ [3-5] показали, что фронт детонационной волны НМ неоднороден, воспламенение НМ при детонации начинается в отдельных очагах, а фронт детонационной волны тетранитрометана однородный, ударно сжатый слой ТНМ воспламеняется при детонации одновременно во всех точках. Представления, развитые в работе [2], применимы, по-видимому, и в случае смесей жидкое ВВ + порошок; из них, и на основании работ [3-5], становится несколько ясным различное поведение НМ и ТНМ в отношении  $d_*$  в смесях с порошками; нитрометан, нуждающийся для детонационного превращения в очагах с повышенными температурами и давлениями, получает при введении порошка дополнительные очаги реакции.

Появление большого количества дополнительных очагов резко сокращает время воспламенения НМ во фронте детонационной волны, что влечет за собой уменьшение величины  $d_*$ . Из данных фиг. 3 следует, что уменьшение  $d_*$  НМ наблюдается лишь тогда, когда дисперсность порошка находится в определенном диапазоне. Это значит, что не всякие очаги эффективны. Возможно, между эффективным размером очага и размером неоднородностей фронта детонационной волны НМ существует связь. Этот вопрос пока не исследовался и может быть предметом отдельного исследования.

А в случае ТНМ, наоборот, введение порошка нарушает однородность фронта детонационной волны, препятствует равномерному послойному распространению детонации в нем, изменяет тем самым механизм воспламенения ТНМ во фронте. По-видимому, изменение механизма воспламенения ТНМ, понижение общей теплоты взрыва

системы по мере добавления порошка приводят к увеличению времени воспламенения ТНМ во фронте детонационной волны и, как следствие этого, к повышению величины  $d_*$ . Правда, величины  $d_*$  смесей ТНМ с порошками исследованы пока недостаточно, особенно с порошками разной дисперсности и большого удельного веса. Кроме того, теплота взрыва самого ТНМ низка (см. табл. 1) по сравнению с теплотой взрыва НМ. Когда теплота взрыва смеси НМ + порошок становится меньше 600 ккал/кг,  $d_*$  этой системы тоже начинает расти (см. фиг. 2, 3), но абсолютная величина  $d_*$  смеси при этом все еще меньше величины  $d_*$  чистого НМ. Эти обстоятельства могут вызвать сомнение

в справедливости основного вывода данного исследования — зависимости величины  $d_*$  системы жидкое ВВ + порошок от структуры фронта детонационной волны исходного жидкого ВВ. Кажется, что и после дополнительных исследований поведение смеси ТНМ с порошками в отношении  $d_*$  будет отличным от поведения смеси нитрометана, так как на фиг. 1—3 их величины  $d_*$  изменяются в противоположных направлениях.

Несколько слов о скоростях детонации исследованных систем. Известно, что в системах ВВ + инертный порошок, равно как и в смесях, содержащих в продуктах взрыва конденсированную фазу, скорость детонации всегда ниже, чем в чистом исходном ВВ, и чем больше доля конденсированной фазы, тем ниже величина скорости.

Так же ведут себя в отношении скорости детонации системы НМ + порошок и ТНМ + порошок. Определение скорости детонации в данной работе проводилось одновременно с опенкой критического диаметра. Поэтому для большинства составов измерены величины скорости детонации лишь вблизи критического диаметра и здесь не приводятся. Но для систем НМ + Al АСД-1 и НМ +  $\text{Al}_2\text{O}_3$  7 мк состава 63 / 37 были сняты кривые зависимости скорости детонации до  $d/d_* = 10$ ; они приводятся на фиг. 4, где кривая 1 относится к НМ + Al и кривая 2 — к НМ +  $\text{Al}_2\text{O}_3$ . При одинаковых весовых составах скорость детонации системы НМ + Al несколько выше, чем скорость детонации системы НМ +  $\text{Al}_2\text{O}_3$ ; кроме того, скорость детонации системы НМ + Al хотя и медленно, но все время растет с увеличением диаметра заряда, что можно объяснить частичным сгоранием алюминия в зоне химической реакции НМ.

В общем, по характеру зависимости скорости детонации от диаметра заряда системы жидкое ВВ + порошок становятся ближе к порошкообразным ВВ; из фиг. 4 видно, что скорость детонации  $D_*$  в критическом диаметре заметно ниже (на 10—12%), чем  $D$  вдали от критического диаметра. Наличие такого сходства было отмечено раньше в работе [6] при определении критического давления инициирования в системе НМ + карборунд состава 20/80. Ими было показано, что при возбуждении детонации этой системы ударной волной, скорость которой ниже нормальной скорости детонации смеси, имеет место, как в порошкообразных ВВ, постепенное повышение скорости детонации смеси до достижения нормального значения, критическое давление инициирующей ударной волны для смеси НМ + карборунд равно 23 кбар, в то время как для инициирования детонации в чистом НМ в тех условиях нужна ударная волна с интенсивностью в 86—90 кбар.

Поступила 28 VI 1968

#### ЛИТЕРАТУРА

- Харитон Ю. Б. О детонационной способности взрывчатых веществ. Вопросы теории взрывчатых веществ, кн. 1 (сб. статей, вып. 1). М., Изд-во АН СССР, 1947.
- Апина А. Я., Стесик Л. Н. О механизме реакции при детонации сплошных взрывчатых веществ. ПМТФ, 1965, № 2.
- Дремин А. Н., Агадуров Г. А., Розанов О. К. О детонации нитрометана вблизи предела. Докл. АН СССР, 1960, т. 133, № 6.
- Дремин А. Н., Савров С. Д. Об устойчивости фронта детонации в жидкких ВВ. Физика горения и взрыва, 1966, № 1.
- Дремин А. Н., Савров С. Д. Предельные условия устойчивого распространения детонации с одномерной зоной в жидкких ВВ. Физика горения и взрыва, 1966, № 4.
- Cambell A. W., Davis W. C., Ramsay J. B., Travis J. R. Schock initiation of solid explosives. Phys. Fluids, 1961, vol. 4, No. 4.